



دانشکده مهندسی برق و کامپیووتر
گروه مهندسی برق - مخابرات

پایان نامه

برای دریافت درجه کارشناسی ارشد در رشته مهندسی برق - مخابرات

عنوان

بهبود کیفیت گفتار بر پایه روش‌های زیرفضائی

با استفاده از تکنیک‌های حذف نویز ادراکی

استاد راهنما

دکتر مسعود گراونچی زاده

استاد مشاور

دکتر میرهادی سیدعربی

پژوهشگر

ساناز قائمی سردرودی

بهمن ۱۳۸۸



به پاس تعبیر عظیم و انسانی شان از کلمه ایثار و از خودکذبگشتنی

به پاس عاطفه سرشار و کرمای امید بخش وجودشان که در این سردترین

روزگاران بهترین پیشیان است

به پاس قلب های بزرگشان که فریادرس است و سرگردانی و ترس در

پناهشان به شجاعت می گراید

و به پاس محبت های بی دینشان که هرگز فروکش نمی کند.

این مجموعه را به پدر و مادر عزیزم و همسر فهرمانم تقدیم می کنم.



سپاس خدای را که نبات را روییدن آموخت و انسان را آموختن.

و اینک بر خود می‌دانم که از زحمات بی‌دریغ، تلاش‌های بی‌وقفه و راهنمایی‌های ارزشمند استاد گرامی جتاب آقای دکتر مسعود گراوانچی‌زاده در راستای انجام این پژوهش تشکر و قدردانی نمایم.

حضور پدری دلسوز و مادری مهربان که صبورانه مرا تحمل کرده و اصلی‌ترین مشوق‌های من در این راه بودند، از این بزرگواران نهایت تشکر و سپاسگزاری را دارم.

در خاتمه از همسر مهربان و فداکارم که حضور گرمش خستگی‌های این راه را به امید و روشنایی تبدیل کرد، سپاسگزارم.

نام: ساناز	نام خانوادگی دانشجو: قائمی سردوودی
عنوان پایان نامه: بهبود کیفیت گفتار بر پایه روش های زیرفضائی با استفاده از تکنیک های حذف نویز ادراکی	استاد راهنمای: دکتر مسعود گراونچی زاده
استاد مشاور: دکتر میرهادی سید عربی	مقطع تحصیلی: کارشناسی ارشد
گرایش: مخابرات-سیستم	رشته: مهندسی برق
دانشکده: مهندسی برق و کامپیوتر	دانشگاه: دانشگاه تبریز
تعداد صفحات: ۱۴۲	تاریخ فارغ التحصیلی: ۱۳۸۹/۱۰/۲۷
واژه نامه: بهبود کیفیت سیگنال، روش های زیرفضائی سیگنال، تجزیه به مقادیر ویژه، تجزیه به مقادیر منفرد، تجزیه به مقادیر منفرد کسری، فیلتر وفقی، الگوریتم های بهینه سازی اتفاقی، الگوریتم بهینه سازی از دحام ذرات.	
<p>چکیده: بهبود کیفیت سیگنال گفتار (speech enhancement)، نقش مهمی در سیستم های مخابراتی صوتی ایفا می کند. تکنیک های بهبود کیفیت سیگنال گفتار برای سمعک ها و وسایلی که در محیط های سیار استفاده می شوند، مانند تلفن های موبایل و Hands free کاربرد زیادی دارند. روش های زیادی برای کاهش اثر نویز در سیگنال های صوتی ارائه شده است. از این میان می توان به روش های مبتنی بر تفriق طیفی، فیلتر وفقی، فیلتر وینر و تبدیل موجک اشاره نمود. همچنین تکنیک های متفاوتی جهت کاهش اثر نویز با استفاده از روش های غیر خطی نیز وجود دارد. در میان روش های ذکر شده جهت کاهش اثر نویز، می توان از تکنیک تجزیه به مقادیر منفرد (Singular Value Decomposition; SVD) در راستای بهبود کیفیت سیگنال ها از جمله سیگنال گفتار سخن گفت. روش های بهبود کیفیت گفتار در کنار حذف نویز از سیگنال گفتار باعث ایجاد اغتشاش و اعوجاج می شوند. اعوجاج و اغتشاش با اعمال فیلتر نرم کننده طیف سیگنال گفتار بهبود یافته، کاهش می یابد، که این فیلتر از مشخصات سیستم شناوری انسان کمک می گیرد. در این پایان نامه ابتدا روش های زیرفضائی سیگنال ادراکی موجود را بررسی کرده و سپس الگوریتم های جدید زیرفضائی سیگنال ادراکی به نام های PCRITQSVD (Perceptual Constrained Rank Independent Truncated Quotient SVD) و PCMRITQSVD (Perceptual Constrained Modified RITQSVD) و PCMRITQSVD-PSO (PCMRITQSVD-Particle Swarm Optimization) می شوند. کارایی روش های زیرفضائی سیگنال ادراکی جدید در مقایسه با روش های سنتی بهبود کیفیت سیگنال گفتار، بهبود داده می شود. معیارهای ارزیابی مختلفی بالا بودن کارایی این روش ها را نسبت به روش های قبلی نشان می دهند.</p>	

فهرست مطالب

۱	پیشگفتار
۲	فصل ۱: پیشینه پژوهش
۳	۱. مقدمه
۴	۲. روش‌های بهبود کیفیت گفتار
۵	۳. تغیریق طیفی
۶	۴. فیلتر وینر بازگشتی
۷	۵. حذف نویز ورقی
۸	۶. روش‌های آماری
۹	۷. روش‌های زیر فضای سیگنال
۱۰	فصل ۲: بررسی روش‌های زیرفضای سیگنال با استفاده از تکنیک‌های حذف نویز ادراکی
۱۱	۱. مقدمه
۱۲	۲. تعاریف ماتریسی
۱۳	۳. بردار و ماتریس مشاهدات
۱۴	۴. ماتریس خودهمبستگی
۱۵	۵. تخمین ماتریس خودهمبستگی
۱۶	۶. آنالیز مقادیر ویژه
۱۷	۷. مقادیر ویژه و بردارهای ویژه
۱۸	۸. تجزیه به مقادیر ویژه (Eigen Value Decomposition; EVD)
۱۹	۹. تجزیه به مقادیر منفرد (Singular Value Decomposition; SVD)
۲۰	۱۰. سیگنال‌های رتبه پائین
۲۱	۱۱. تجزیه به مقادیر منفرد کسری (Quotient SVD; QSVD)
۲۲	۱۲. تجزیه به مقادیر منفرد بربار شده (Truncated SVD; TSVD)
۲۳	۱۳. استخراج سیگنال از داده نویزی
۲۴	۱۴. ارتباط بین تجزیه به مقادیر منفرد ماتریس مشاهدات و نویز
۲۵	۱۵. نتایج شبیه‌سازی الگوریتم TSVD برای سیگنال ایستا
۲۶	۱۶. تخمین‌گرهای خطی (Linear Estimators)
۲۷	۱۷. نویز موزیکال (Musical Noise)
۲۸	۱۸. تخمین‌گر حداقل مربعات (Least Square; LS)
۲۹	۱۹. تخمین‌گر حداقل مربعات (Least Square; LS)

۳۰.....	تخمین‌گر حداقل واریانس (Minimum Variance Estimator; MVE)
۳۱.....	تخمین‌گر محدود به حوزه زمان (Time-Domain-Constrained Estimator; TDCE)
۳۲.....	تخمین‌گر محدود به حوزه فرکانس (Spectral-Domain-Constrained Estimator; SDCE)
۳۴.....	بیان تخمین‌گرهای خطی به زبان واحد
۳۶.....	فلوچارت الگوریتم TSVD
۳۷.....	نتایج شبیه‌سازی الگوریتم TSVD
۴۲.....	کاهش نویز رتبه کامل
۴۳.....	نویز رنگی
۴۴.....	پیش سفید سازی توسط الگوریتم GSVD
۵۱.....	حذف نویز رتبه ناقص
۵۱.....	نرم‌الیزاسیون نویز موجود در مشاهدات رتبه کامل
۵۴.....	RITQSVD
۵۶.....	بیان تخمین‌گرهای خطی الگوریتم RITQSVD به زبان واحد
۵۷.....	فلوچارت الگوریتم RITQSVD
۵۸.....	نتایج شبیه‌سازی الگوریتم RITQSVD
۶۳.....	روش MRITQSVD برای ماتریس Z تکین
۶۳.....	تعمیم الگوریتم RITQSVD
۶۶.....	MRITQSVD
۶۷.....	نتایج شبیه‌سازی الگوریتم MRITQSVD
۷۰.....	روش‌های زیرفضای سیگنال با استفاده از تکنیک‌های حذف نویز ادراکی
۷۰.....	محاسبه آستانه ماسک گذاری
۷۲.....	نگاشت آستانه‌های ماسک گذاری حوزه فرکانس به حوزه مقادیر ویژه
۷۵.....	PCGSVD
۷۹.....	فلوچارت الگوریتم PCGSVD
۸۱.....	نتایج شبیه‌سازی الگوریتم PCGSVD
۸۵.....	فصل ۳: ارائه روش‌های جدید زیرفضای سیگنال ادراکی
۸۶.....	۱. مقدمه
۸۷.....	PCRITQSVD
۸۷.....	۱. نگاشت آستانه‌های ماسک گذاری حوزه فرکانس به حوزه مقادیر منفرد کسری
۸۹.....	۲. الگوریتم PCRITQSVD-LSE
۹۱.....	۳. الگوریتم PCRITQSVD-MVE

٩٢.....	PCRITQSVD-TDCE .٤.٢.٣
٩٣.....	PCRITQSVD-SDCE .٥.٢.٣
٩٤.....	PCRITQSVD .٦.٢.٣
٩٦.....	PCMRITQSVD .٣.٣
١٠١.....	PCMRITQSVD .١.٣.٣
١٠٣.....	PCMRITQSVD-PSO .٤.٣
١٠٣.....	الگوریتم‌های حذف نویز و فقی .١.٤.٣
١٠٨. (Structured Stochastic Optimization Algorithms)	الگوریتم‌های بهینه‌سازی با ساختار آماری .٢.٤.٣
١٠٨.....	(Evolutionary Algorithms; EA) .٣.٤.٣
١٠٩.....	الگوریتم‌های بهینه‌سازی ذرات استاندارد (SPSO) .٤.٤.٣
١١٣.....	PCMRITQSVD-PSO .٥.٤.٣
١١٥.....	فصل ٤: نتایج و پیشنهادات
١١٦.....	٤. مقدمه
١١٦.....	٢.٤. شرایط شبیه‌سازی و معیارهای ارزیابی
١١٦.....	١.٢.٤. دادگان
١١٦.....	٢.٢.٤. معیارهای ارزیابی
١١٨.....	٣.٤. نتایج شبیه‌سازی الگوریتم PCRITQSVD
١٢٣.....	٤.٤. نتایج شبیه‌سازی الگوریتم PCMRITQSVD
١٢٧.....	٥.٤. نتایج شبیه‌سازی الگوریتم PCMRITQSVD-PSO
١٣٢.....	٦.٤. مقایسه عملکرد الگوریتم‌های پیشنهادی
١٣٦.....	٧.٤. پیشنهادات
١٣٧.....	مراجع

فهرست شکل ها

شکل (۱.۱): محیط‌های کاربردی روش‌های بهبود کیفیت گفتار.....	۲
شکل (۲.۱): تفریق دامنه طیفی. دامنه طیف مشاهدات نویزی و نویز در شکل سمت چپ و دامنه طیف سیگنال تخمینی در شکل سمت راست کشیده شده است.	۴
شکل (۳.۱): بلوک دیاگرام ساختار فیلتر وینر بازگشتی.....	۵
شکل (۴.۱): طیف LPC سیگنال گفتار تمیز و بهبود کیفیت یافته برای ۵، ۱۰ و ۲۰-امین مرحله تکرار.....	۶
شکل (۵.۱): ستاریوی حذف نویز ورقی	۷
شکل (۱.۲): SVD کامل ماتریس مشاهدات $\mathbf{X} \in \mathbb{R}^{M \times N}$ ($M \geq N$) با رتبه r	۱۶
شکل (۲.۲): طیف مقادیر منفرد سیگنال سینوسی آلوده به نویز سفید گوسی	۲۳
شکل (۳.۲): اشکال به ترتیب مربوط به سیگنال‌های تمیز، نویزی و بهبود کیفیت یافته توسط الگوریتم TSVD هستند. سیگنال نویزی، سیگنال سینوسی و آلوده به نویز سفید می‌باشد	۲۵
شکل (۴.۲): سیگنال صحبت مربوط به طیف مقادیر ویژه شکل ۵.۲	۲۶
شکل (۵.۲): طیف مقادیر ویژه فریم‌های صحبت شکل ۴.۲ با فریم‌های بدون همپوشانی در ماتریس مشاهدات $\mathbf{X}_{141 \times 20}$	۲۷
شکل (۶.۲): طیف مقادیر ویژه $\mathbf{X}^{(\times)}$ ، $\mathbf{S}_{LS}^{(\Delta)}$ و $\hat{\mathbf{S}}^{(0)}$	۳۰
شکل (۷.۲) دیاگرام فیلتری Karhunen Loeve. بردارهای ورودی سطرهای ماتریس مشاهدات و بردارهای خروجی سطرهای ماتریس سیگنال تخمینی می‌باشند.	۳۵
شکل (۸.۲): فلوچارت الگوریتم TSVD	۳۶
شکل (۹.۲): حساسیت تخمین گر LS به رتبه زیرفضای سیگنال بعلاوه نویز	۳۸
شکل (۱۰.۲): حساسیت تخمین گر MV به رتبه زیرفضای سیگنال بعلاوه نویز.....	۳۸
شکل (۱۱.۲): حساسیت تخمین گر TDC به رتبه زیرفضای سیگنال بعلاوه نویز	۳۹
شکل (۱۲.۲): حساسیت تخمین گر SDC به رتبه زیرفضای سیگنال بعلاوه نویز.....	۳۹
شکل (۱۳.۲): به ترتیب از بالا به پایین، طیف نگاشت سیگنال آلوده به نویز سفید با نسبت سیگنال به نویز ۵ دسیبل و تمیز	۴۰
شکل (۱۴.۲): طیف نگاشت سیگنال تخمینی توسط تخمین گر LS	۴۰
شکل (۱۵.۲): طیف نگاشت سیگنال تخمینی توسط تخمین گر MV	۴۱
شکل (۱۶.۲): طیف نگاشت سیگنال تخمینی توسط تخمین گر TDC	۴۱
شکل (۱۷.۲): طیف نگاشت سیگنال تخمینی توسط تخمین گر SDC	۴۱
شکل (۱۸.۲): عناصر قطری ماتریس‌های Σ و M	۴۸

- شکل (۱۹.۲): تفکیک ماتریس قطری Σ الف) جمله \mathbf{I}_{N-p} , مربوط به زیرفضای فقط سیگنال بوده و نباید فیلتر شود. جمله $\frac{1}{\sqrt{2}} \mathbf{I}_{p-r}$ به زیرفضای فقط نویز ربط دارد و باید حذف شود. رتبه زیرفضای نویز و زیرفضای سیگنال به علاوه نویز بوده و باید فیلتر شود. جمله \mathbf{M} افزار ماتریس قطری Σ و \mathbf{M} رنگ‌های استفاده شده در نوار رنگ متناظر با رنگ‌های شکل (۱۹.۲) می‌باشد.
- شکل (۲۰.۲): نحوه تعیین رتبه‌های k , p و r از روی عناصر قطری ماتریس‌های Σ و \mathbf{M} .
- شکل (۲۱.۲): فلوچارت الگوریتم RITQSVD
- شکل (۲۲.۲): نویز ماشین با نسبت سیگنال به نویز صفر دسیبل و گوینده مرد برای تخمین‌گرهای مختلف در الگوریتم RITQSVD
- شکل (۲۳.۲): به ترتیب از بالا به پائین، طیف نگاشت سیگنال نویزی آلوده به نویز.
- شکل (۲۴.۲): به ترتیب از بالا به پائین، طیف نگاشت سیگنال نویزی آلوده به نویز ماشین با نسبت سیگنال به نویز ۵ دسیبل، سیگنال تمیز و سیگنال تخمینی حاصله از تخمین‌گر LS در الگوریتم RITQSVD
- شکل (۲۵.۲): به ترتیب از بالا به پائین، طیف نگاشت سیگنال نویزی آلوده به نویز ماشین با نسبت سیگنال به نویز ۵ دسیبل، سیگنال تمیز و سیگنال تخمینی حاصله از تخمین‌گر MV در الگوریتم RITQSVD
- شکل (۲۶.۲): به ترتیب از بالا به پائین، طیف نگاشت سیگنال نویزی آلوده به نویز ماشین با نسبت سیگنال به نویز ۵ دسیبل، سیگنال تمیز و سیگنال تخمینی حاصله از تخمین‌گر SDC در الگوریتم RITQSVD
- شکل (۲۷.۲): فلوچارت الگوریتم MRITQSVD
- شکل (۲۸.۲): نویز ماشین با نسبت سیگنال به نویز صفر دسیبل و گوینده مرد برای تخمین‌گرهای مختلف در الگوریتم MRITQSVD
- شکل (۲۹.۲): به ترتیب از بالا به پائین، طیف نگاشت سیگنال نویزی آلوده به نویز ماشین با نسبت سیگنال به نویز ۵ دسیبل، سیگنال تمیز و سیگنال تخمینی حاصله از تخمین‌گر SDC در الگوریتم MRITQSVD
- شکل (۳۰.۲): اندازه توان طیفی فریم صحبت voiced (حرف a انگلیسی) (خط پیوسته) و آستانه ماسک گذاری مربوطه (خط چین).
- شکل (۳۱.۲): فلوچارت الگوریتم PCGSVD
- شکل (۳۲.۲): به ترتیب از بالا به پائین، طیف نگاشت سیگنال نویزی آلوده به نویز ماشین با نسبت سیگنال به نویز ۵ دسیبل، سیگنال تمیز و سیگنال تخمینی حاصله از تخمین‌گر LS در الگوریتم PCGSVD
- شکل (۳۳.۲): به ترتیب از بالا به پائین، طیف نگاشت سیگنال نویزی آلوده به نویز ماشین با نسبت سیگنال به نویز ۵ دسیبل، سیگنال تمیز و سیگنال تخمینی حاصله از تخمین‌گر MV در الگوریتم PCGSVD

شکل (۳۴.۲): به ترتیب از بالا به پائین، طیف نگاشت سیگنال نویزی آلوده به نویز ماشین با نسبت سیگنال به نویز ۰ دسیبل، ۸۳.....	PCGSVD در الگوریتم LS
شکل (۳۵.۲): به ترتیب از بالا به پائین، طیف نگاشت سیگنال نویزی آلوده به نویز ماشین با نسبت سیگنال به نویز ۰ دسیبل، ۸۳.....	PCGSVD در الگوریتم MV
شکل (۱.۲): فلوچارت الگوریتم PCRITQSVD ۹۴.....	
شکل (۲.۲): فلوچارت الگوریتم PCMRITQSVD ۱۰۱.....	
شکل (۳.۲): سیستم حذف نویز ورقی ۱۰۴.....	
شکل (۴.۳): مدل یک کانال مخابراتی غیرخطی ۱۰۷.....	
شکل (۵.۳): مثال مقیاس‌گذاری و کران‌های جهات تصادفی ۱۱۰.....	
شکل (۶.۳): منطقه جستجوی ممکن برای هر ذره ۱۱۱.....	
شکل (۷.۳): بلوک دیاگرام تخمین نویز توسط PSO ۱۱۲.....	
شکل (۸.۳): فلوچارت الگوریتم PCMRITQSVD-PSO ۱۱۳.....	
شکل (۱.۴): به ترتیب از بالا به پائین، طیف نگاشت سیگنال نویزی آلوده به نویز ماشین با نسبت سیگنال به نویز ۵ دسیبل، ۱۲۰.....	PCRITQSVD در الگوریتم LS
شکل (۲.۴): به ترتیب از بالا به پائین، طیف نگاشت سیگنال نویزی آلوده به نویز ماشین با نسبت سیگنال به نویز ۵ دسیبل، ۱۲۰.....	PCRITQSVD در الگوریتم MV
شکل (۳.۴): به ترتیب از بالا به پائین، طیف نگاشت سیگنال نویزی آلوده به نویز ماشین با نسبت سیگنال به نویز ۵ دسیبل، ۱۲۰.....	PCRITQSVD در الگوریتم TDC
شکل (۴.۴): به ترتیب از بالا به پائین، طیف نگاشت سیگنال نویزی آلوده به نویز ماشین با نسبت سیگنال به نویز ۵ دسیبل، ۱۲۱.....	PCRITQSVD در الگوریتم SDC
شکل (۵.۴): به ترتیب از بالا به پائین، طیف نگاشت سیگنال نویزی آلوده به نویز ماشین با نسبت سیگنال به نویز ۰ دسیبل، ۱۲۱.....	PCRITQSVD در الگوریتم LS
شکل (۶.۴): به ترتیب از بالا به پائین، طیف نگاشت سیگنال نویزی آلوده به نویز ماشین با نسبت سیگنال به نویز ۰ دسیبل، ۱۲۲.....	PCRITQSVD در الگوریتم MV
شکل (۷.۴): به ترتیب از بالا به پائین، طیف نگاشت سیگنال نویزی آلوده به نویز ماشین با نسبت سیگنال به نویز ۰ دسیبل، ۱۲۲.....	PCRITQSVD در الگوریتم TDC
شکل (۸.۴): به ترتیب از بالا به پائین، طیف نگاشت سیگنال نویزی آلوده به نویز ماشین با نسبت سیگنال به نویز ۰ دسیبل، ۱۲۳.....	PCRITQSVD در الگوریتم SDC
شکل (۹.۴): به ترتیب از بالا به پائین، طیف نگاشت سیگنال نویزی آلوده به نویز ماشین با نسبت سیگنال به نویز ۰ دسیبل، ۱۲۵.....	PCMRITQSVD در الگوریتم LS

- شکل (۱۰.۴): به ترتیب از بالا به پائین، طیف نگاشت سیگنال نویزی آلوده به نویز ماشین با نسبت سیگنال به نویز ۰ دسیبل،
سیگنال تمیز و سیگنال تخمینی حاصله از تخمین گر MV در الگوریتم PCMRITQSVD ۱۲۶
- شکل (۱۱.۴): به ترتیب از بالا به پائین، طیف نگاشت سیگنال نویزی آلوده به نویز ماشین با نسبت سیگنال به نویز ۰ دسیبل،
سیگنال تمیز و سیگنال تخمینی حاصله از تخمین گر TDC در الگوریتم PCMRITQSVD ۱۲۶
- شکل (۱۲.۴): به ترتیب از بالا به پائین، طیف نگاشت سیگنال نویزی آلوده به نویز ماشین با نسبت سیگنال به نویز ۰ دسیبل،
سیگنال تمیز و سیگنال تخمینی حاصله از تخمین گر SDC در الگوریتم PCMRITQSVD ۱۲۷
- شکل (۱۳.۴): سیگنال آلوده به نویز ماشین با نسبت سیگنال به نویز صفر دسیبل و گوینده زن برای تخمین‌گرهای مختلف در
الگوریتم PCMRITQSVD-PSO (a) سیگنال تمیز (b) سیگنال آلوده به نویز (c) سیگنال تخمینی حاصله از تخمین گر LS (d)
سیگنال تخمینی حاصله از تخمین گر MV (e) سیگنال تخمینی حاصله از تخمین گر TDC (f) سیگنال تخمینی حاصله از
تخمین گر SDC ۱۳۰
- شکل (۱۴.۴): سیگنال آلوده به نویز هواپیما با نسبت سیگنال به نویز ۱۵- دسیبل و گوینده زن برای تخمین‌گرهای مختلف در
الگوریتم PCMRITQSVD-PSO (a) سیگنال تمیز (b) سیگنال آلوده به نویز (c) سیگنال تخمینی حاصله از تخمین گر LS (d)
سیگنال تخمینی حاصله از تخمین گر MV (e) سیگنال تخمینی حاصله از تخمین گر TDC (f) سیگنال تخمینی حاصله از
تخمین گر SDC ۱۳۱
- شکل (۱۵.۴): سیگنال آلوده به نویز Babble با نسبت سیگنال به نویز ۱۵- دسیبل و گوینده زن برای تخمین‌گرهای TDC و
SDC با الگوریتم‌های PCMRITQSVD و PCMRITQSVD-PSO (a) سیگنال تمیز (b) سیگنال آلوده به نویز (c) سیگنال
تخمینی حاصله از الگوریتم PCMRITQSVD (d) سیگنال تخمینی حاصله از الگوریتم TDC با تخمین گر PCMRITQSVD-PSO
PCMRITQSVD با تخمین گر SDC (e) سیگنال تخمینی حاصله از الگوریتم PCMRITQSVD با تخمین گر SDC (f) سیگنال تخمینی حاصله از الگوریتم PCMRITQSVD-PSO با تخمین گر TDC ۱۳۵

فهرست جداول

جدول (۱.۲): تاثیر مقدار γ روی انرژی اعوجاج سیگنال و انرژی نویز باقیمانده	۳۳
جدول (۲.۲): ماتریس بهره \bar{G}_R برای تخمین‌گرهای مختلف الگوریتم TSVD	۳۵
جدول (۳.۲): ارزیابی نسبت سیگنال به نویز برای تخمین‌گر LS در الگوریتم TSVD	۴۲
جدول (۴.۲): ارزیابی نسبت سیگنال به نویز برای تخمین‌گر MV در الگوریتم TSVD	۴۲
جدول (۵.۲): ارزیابی نسبت سیگنال به نویز برای تخمین‌گر TDC در الگوریتم TSVD	۴۲
جدول (۶.۲): ارزیابی نسبت سیگنال به نویز برای تخمین‌گر SDC در الگوریتم TSVD	۴۲
جدول (۷.۲): مقادیر ممکن درایه‌های قطری و زیرمجموعه‌های مربوطه	۴۹
جدول (۸.۲): ماتریس بهره \bar{G}_R برای تخمین‌گرهای مختلف الگوریتم TQSVD	۵۰
جدول (۹.۲): ارزیابی نسبت سیگنال به نویز برای تخمین‌گر LS در الگوریتم RITQSVD	۵۸
جدول (۱۰.۲): ارزیابی نسبت سیگنال به نویز برای تخمین‌گر MV در الگوریتم RITQSVD	۵۸
جدول (۱۱.۲): ارزیابی نسبت سیگنال به نویز برای تخمین‌گر TDC در الگوریتم RITQSVD	۵۸
جدول (۱۲.۲): ارزیابی نسبت سیگنال به نویز برای تخمین‌گر SDC در الگوریتم RITQSVD	۵۹
جدول (۱۳.۲): ارزیابی نسبت سیگنال به نویز برای تخمین‌گر LS در الگوریتم MRITQSVD	۶۷
جدول (۱۴.۲): ارزیابی نسبت سیگنال به نویز برای تخمین‌گر MV در الگوریتم MRITQSVD	۶۷
جدول (۱۵.۲): ارزیابی نسبت سیگنال به نویز برای تخمین‌گر TDC در الگوریتم MRITQSVD	۶۷
جدول (۱۶.۲): ارزیابی نسبت سیگنال به نویز برای تخمین‌گر SDC در الگوریتم MRITQSVD	۶۸
جدول (۱۷.۲): ارزیابی PESQ برای تخمین‌گرهای خطی با نویز ماشین در الگوریتم PCGSVD	۸۱
جدول (۱۸.۲): ارزیابی PESQ برای تخمین‌گرهای خطی با نویز سینوسی در الگوریتم PCGSVD	۸۱
جدول (۱۹.۲): ارزیابی SNR برای تخمین‌گرهای خطی با نویز ماشین در الگوریتم PCGSVD	۸۱
جدول (۲۰.۲): ارزیابی SNR برای تخمین‌گرهای خطی با نویز سینوسی در الگوریتم PCGSVD	۸۱
جدول (۱.۳): درایه‌های قطری ماتریس بهره \bar{G}_R برای تخمین‌گرهای مختلف الگوریتم MRITQSVD	۹۸
جدول (۱.۴): شرایط آزمایشگاهی برای شبیه‌سازی الگوریتم PCRITQSVD	۱۱۸
جدول (۲.۴): ارزیابی PESQ برای تخمین‌گرهای خطی با نویز ماشین در الگوریتم PCRITQSVD	۱۱۸
جدول (۳.۴): ارزیابی PESQ برای تخمین‌گرهای خطی با نویز سینوسی در الگوریتم PCRITQSVD	۱۱۹
جدول (۴.۴): ارزیابی SNR برای تخمین‌گرهای خطی با نویز ماشین در الگوریتم PCRITQSVD	۱۱۹
جدول (۵.۴): ارزیابی SNR برای تخمین‌گرهای خطی با نویز سینوسی در الگوریتم PCRITQSVD	۱۱۹
جدول (۶.۴): شرایط آزمایشگاهی برای شبیه‌سازی الگوریتم PCMRITQSVD	۱۲۴

جدول (۷.۴): ارزیابی PESQ برای تخمین‌گرهای خطی با نویز ماشین در الگوریتم PCMRITQSVD	۱۲۴
جدول (۸.۴): ارزیابی PESQ برای تخمین‌گرهای خطی با نویز سینوسی در الگوریتم PCMRITQSVD	۱۲۴
جدول (۹.۴): ارزیابی PESQ برای تخمین‌گرهای خطی با نویز سینوسی در الگوریتم PCMRITQSVD	۱۲۵
جدول (۱۰.۴): ارزیابی SNR برای تخمین‌گرهای خطی با نویز سینوسی در الگوریتم PCMRITQSVD	۱۲۵
جدول (۱۱.۴): شرایط آزمایشگاهی برای شبیه‌سازی الگوریتم PCMRITQSVD	۱۲۸
جدول (۱۲.۴): ارزیابی SNR برای تخمین‌گرهای خطی با نویز سفید در الگوریتم PCMRITQSVD-PSO	۱۲۸
جدول (۱۳.۴): ارزیابی SNR برای تخمین‌گرهای خطی با نویز ماشین در الگوریتم PCMRITQSVD-PSO	۱۲۸
جدول (۱۴.۴): ارزیابی SNR برای تخمین‌گرهای خطی با نویز هواپیما در الگوریتم PCMRITQSVD-PSO	۱۲۹
جدول (۱۵.۴): ارزیابی SNR برای تخمین‌گرهای خطی با نویز babble در الگوریتم PCMRITQSVD-PSO	۱۲۹
جدول (۱۶.۴): مقایسه الگوریتم‌های PCMRITQSVD و PCMRITQSVD-PSO با تخمین‌گر LS و ارزیابی SNR	۱۳۲
جدول (۱۷.۴): مقایسه الگوریتم‌های PCMRITQSVD و PCMRITQSVD-PSO با تخمین‌گر MV و ارزیابی SNR	۱۳۳
جدول (۱۸.۴): مقایسه الگوریتم‌های PCMRITQSVD و PCMRITQSVD-PSO با تخمین‌گر TDC و ارزیابی SNR	۱۳۳
جدول (۱۹.۴): مقایسه الگوریتم‌های PCMRITQSVD و PCMRITQSVD-PSO با تخمین‌گر SDC و ارزیابی SNR	۱۳۳
جدول (۲۰.۴): نتایج تست شنوازی برای مقایسه الگوریتم‌های MRITQSVD، PCMRITQSVD-PSO و PCMRITQSVD	۱۳۴

فهرست اختصارات

AMT	Auditory Masking Threshold
ANC	Adaptive Noise Cancellation
AP	Affine Projection
AR	Auto Regressive
EA	Evoloutionary Algorithms
EVD	Eigen Value Decomposition
FET	Frequency to Eigendomain Transformation
FIR	Finite Impulse Response
GSVD	Generalized Singular Value Decomposition
IFET	Inverse Frequency to Eigendomain Transformation
IIR	Infinite Impulse Response
IWF	Iterative Wiener Filter
LPC	Linear Predictive Coding
LS	Least Squares
MPSO	Modified Particale Swarm Optimization
MRITQSVD	Modified Rank Independent Truncated Quotient Singular Value Decomposition
MV	Minimum Varianc
NEE	Noise Error Estimation
NLMS	Normalized Least-Mean-Squares
PCGSVD	Perceptually Constrained Generalized Singular Value Decomposition
PCGSVD-LSE	Perceptually Constrained Generalized Singular Value Decomposition–Least-Squares Estimator
PCGSVD-MVE	Perceptually Constrained Generalized Singular Value Decomposition–Minimum-Varianc Estimator
PCRITQSVD	Perceptually Constrained Rank Independent Truncated Quotient Singular Value Decomposition
PCRITQSVD-LSE	Perceptually Constrained Rank Independent Truncated Quotient Singular Value Decomposition–Least-Squares Estimator
PCRITQSVD-MVE	Perceptually Constrained Rank Independent Truncated Quotient Singular Value Decomposition–Minimum-Varianc Estimator
PCRITQSVD-SDCE	Perceptually Constrained Rank Independent Truncated Quotient Singular Value Decomposition–Spectral-Domain-Constrained Estimator
PCRITQSVD-TDCE	Perceptually Constrained Rank Independent Truncated Quotient Singular Value Decomposition–Time-Domain-Constrained Estimator

PCMRITQSVD	Perceptually Constrained Modified Rank Independent Truncated Quotient Singular Value Decomposition
PCMRITQSVD-PSO	Perceptually Constrained Modified Rank Independent Truncated Quotient Singular Value Decomposition–Partical Swarm Optimization
PSO	Partical Swarm Optimization
QSVD	Quotient Singular Value Decomposition
RITQSVD	Rank Independent Truncated Quotient Singular Value Decomposition
RLS	Recursive Least-Squares
SDC	Spectral-Domain-Constrained
SPSO	Standard Partical Swarm Optimization
SVD	Singular Value Decomposition
TDC	Time-Domain-Constrained
TQSVD	Truncated Quotient Singular Value Decomposition
TSVD	Truncated Singular Value Decomposition
VAD	Voice Activity Detector
WSE	Wide Sense Ergodic
WSS	Wide Sense Stationary

پیشگفتار:

بلوک‌های بهبود کیفیت سیگنال گفتار اجزاء غیر قابل اجتناب سیستم‌های مخابراتی صوتی هستند. متأسفانه اکثر روش‌های بهبود کیفیت سیگنال گفتار در حین کاهش نویز مشکلات عدیدهای برای سیگنال گفتار ایجاد می‌کنند. منشأ اکثر این مشکلات، تخمین ضعیف پارامترها می‌باشد.

این پایان نامه سعی در رفع مشکلات بیان شده را دارد و روش‌های کاهش نویز و اعوجاج قابل شنیدن را معرفی می‌کند. برای کاهش نویز از روش‌های زیرفضای سیگنال که روش‌های مبتنی بر فریم هستند، استفاده می‌کنیم. روش‌های زیرفضای سیگنال بر این پایه می‌باشند که زیرفضای سیگنال، زیرمجموعه‌ای از فضای مشاهدات و زیرفضای نویز کل زیرفضای مشاهدات است. لذا، هدف ما در این روش، تعیین زیرفضای سیگنال با تصویر کردن مشاهدات روی زیرفضای سیگنال و حذف زیرفضای فقط نویز می‌باشد.

روش‌های کاهش اعوجاج قابل شنیدن از مشخصات سیستم شناوی انسان بهره می‌گیرند. این روش‌ها بر این پایه هستند که گوش انسان قادر به شنیدن نویز زیر آستانه معینی نمی‌باشد. روش‌های محاسبه این آستانه‌ها در حوزه فرکانس، براساس آنالیز باند بحرانی و الگوی تحریک غشاء اصلی^۱ گوش داخلی^۲ هستند.

در این پایان‌نامه، ابتدا توضیحات کلی را در زمینه کاهش نویز گفتار ارائه می‌دهیم. سپس، به بررسی الگوریتم‌های موجود در زیرفضای سیگنال ادرکی می‌پردازیم. در ادامه، معايب و مزایای هر یک را برخواهیم شمرد. در آخر، راهکارها و الگوریتم‌های جدیدی پیشنهاد نموده و به نوبه خود به بررسی مزایا و معايب هر یک از آنها خواهیم پرداخت.

ساناز قائمی سردرودی

زمستان ۸۸

¹ Basilar Membrane

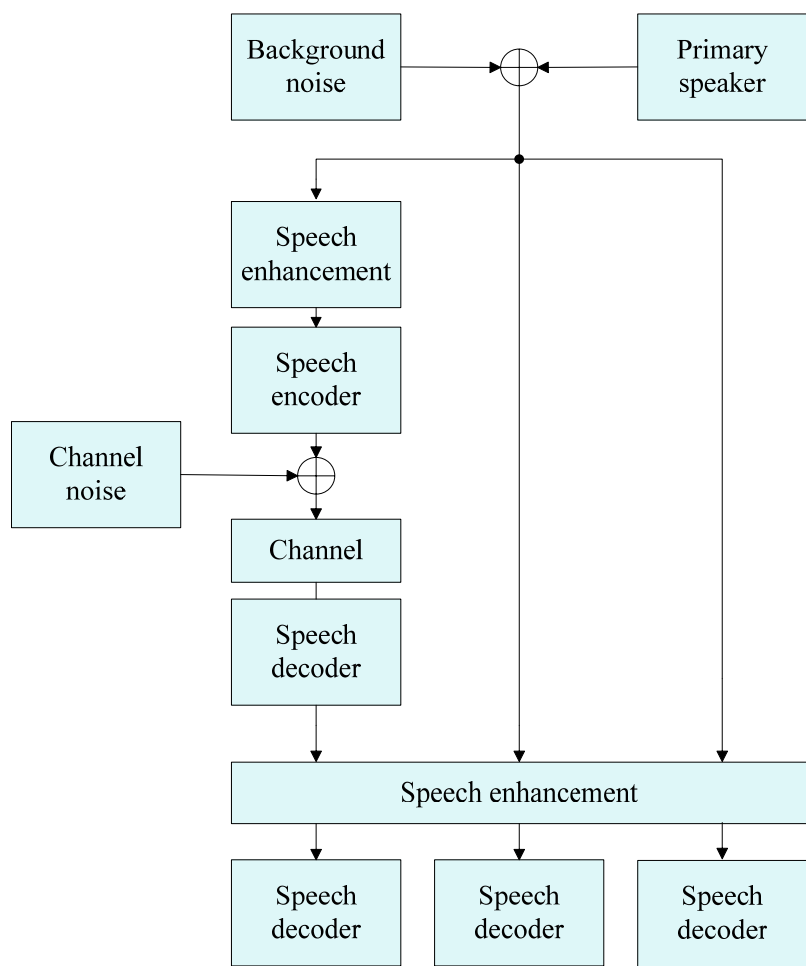
² Inner Ear

فصل اول:

پیشنهاد پژوهش

۱.۱. مقدمه

موضوع این پایان نامه کاهش نویز زمینه جمعی از سیگنال گفتار است. وجود نویز زمینه باعث کاهش کیفیت و قابلیت فهم سیگنال گفتار می‌شود. لذا، محیط نویزی توانایی گوینده و شنونده را برای برقراری ارتباط کاهش می‌دهد. برای کاهش این مشکل، روش‌های بهبود کیفیت گفتار را می‌توانیم بکار ببریم. سیگنال گفتار دیجیتال می‌تواند ورودی کدکننده سیگنال گفتار، سمعک یا تشخیص صحبت باشد. اعمال سیستم بهبود کیفیت گفتار در چنین کاربردهایی در شکل (۱.۱) نشان داده شده است. شکل (۱.۱) چگونگی تضعیف نویز کanal را توسط روش‌های بهبود کیفیت نشان می‌دهد.



شکل (۱.۱): محیط‌های کاربردی روش‌های بهبود کیفیت گفتار